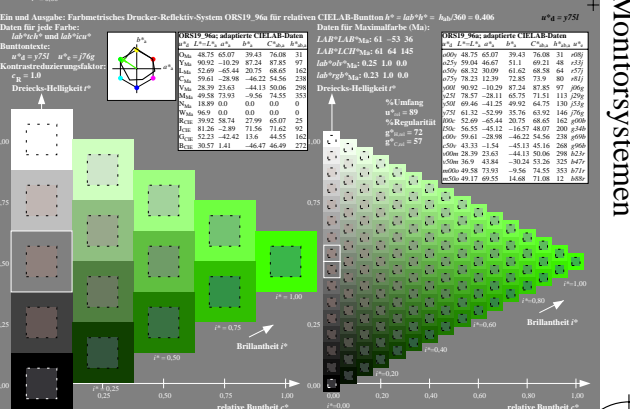
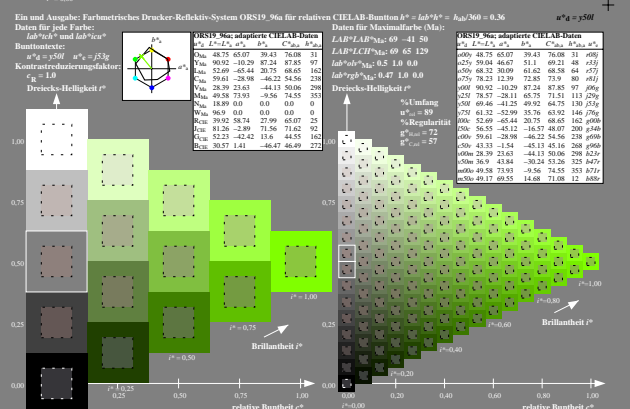
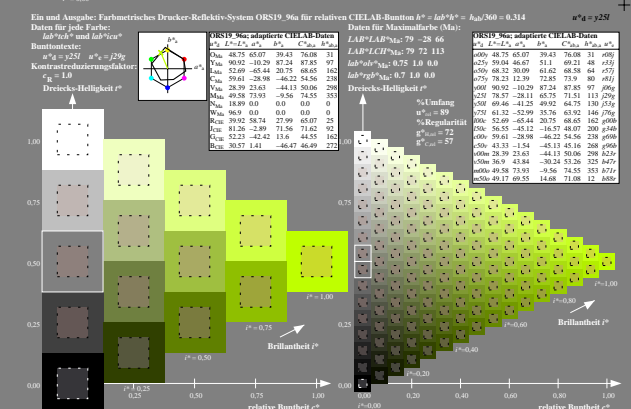
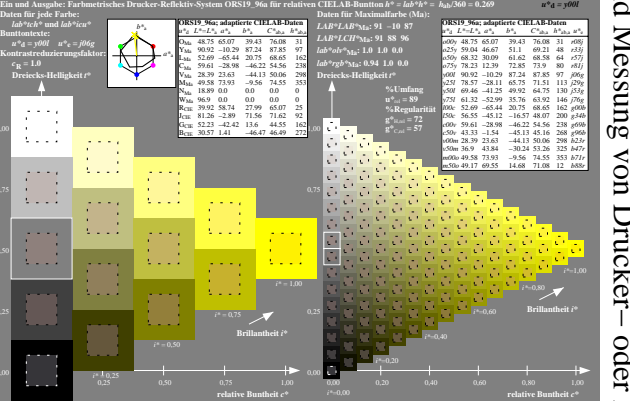
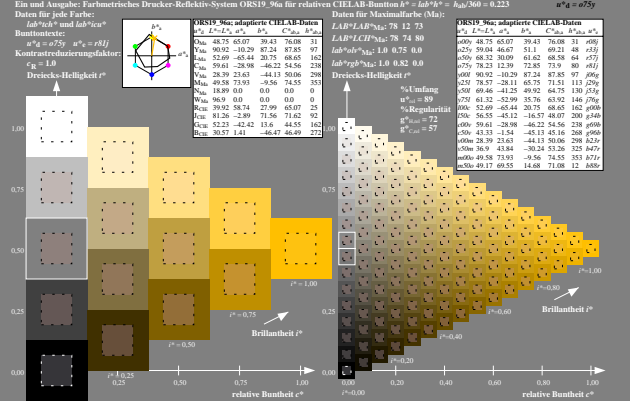
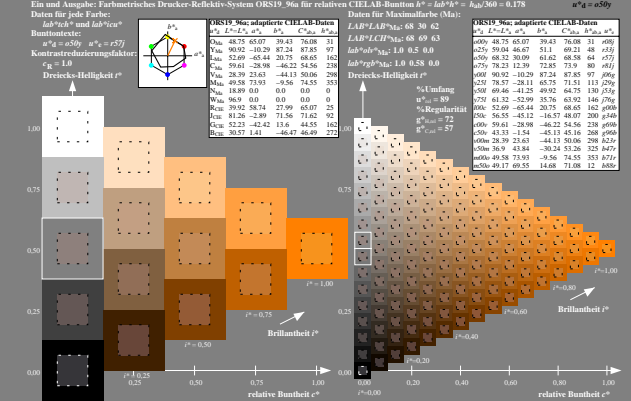
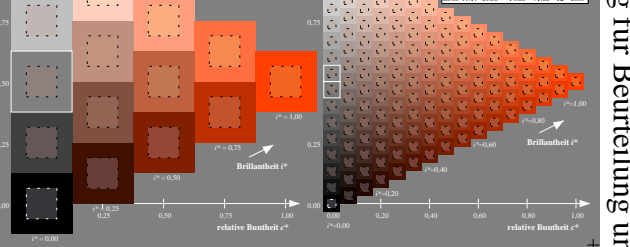
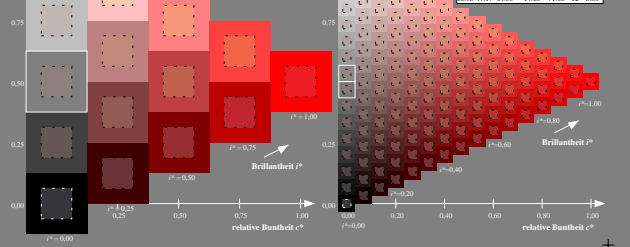
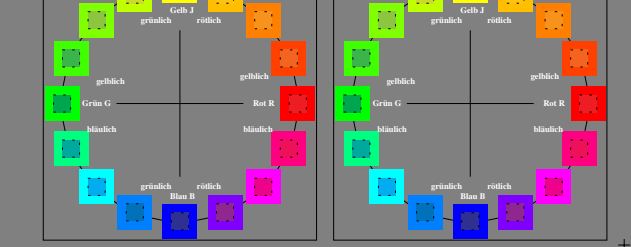
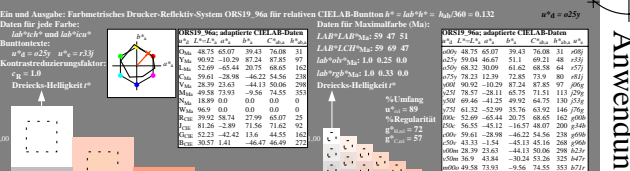
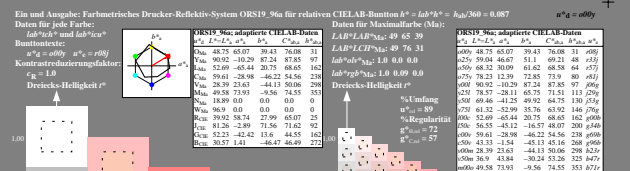
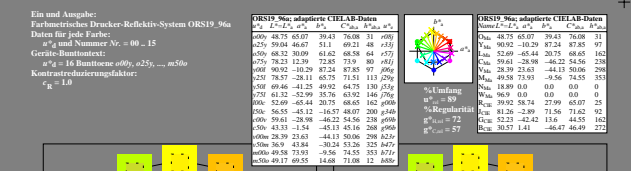


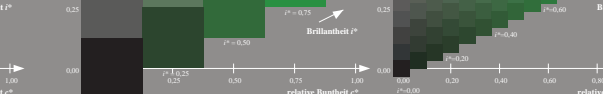
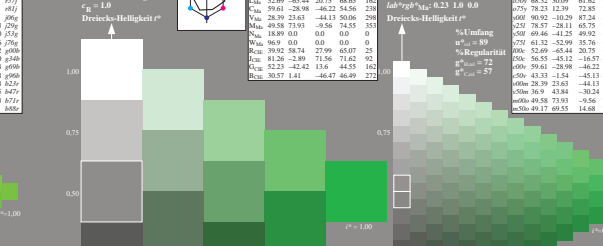
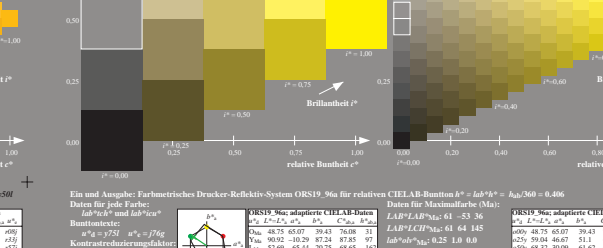
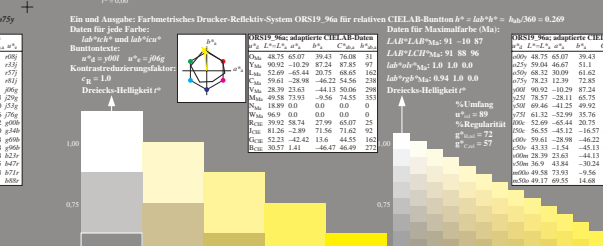
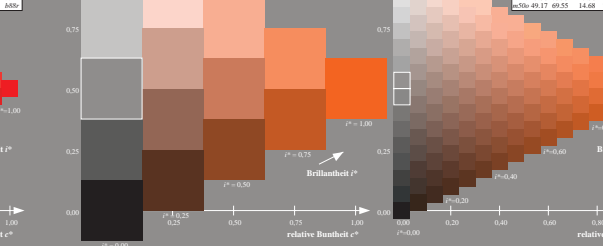
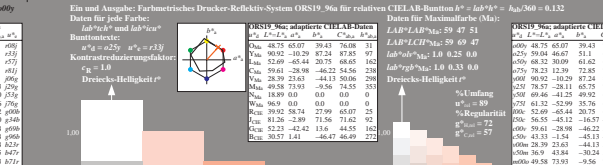
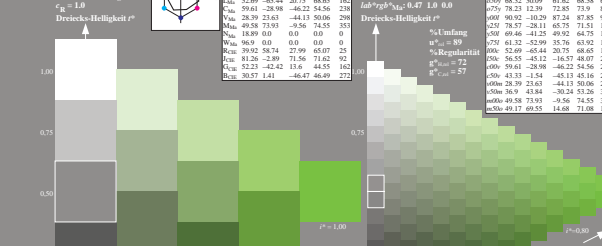
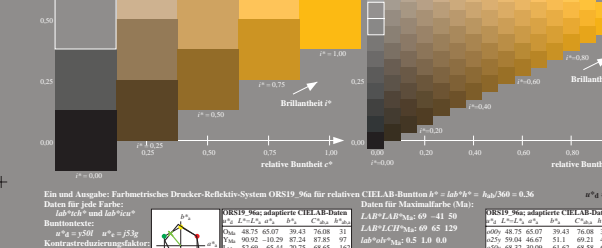
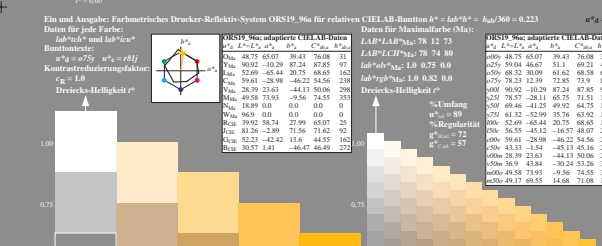
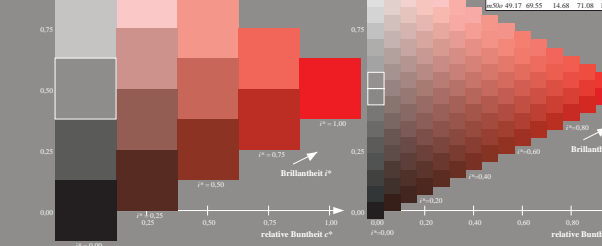
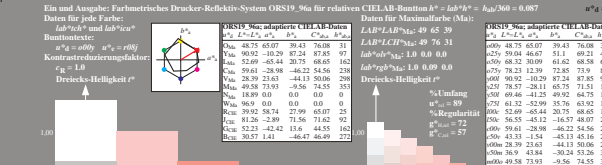
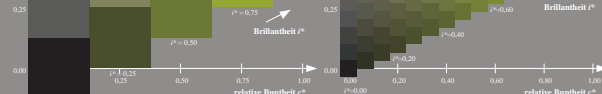
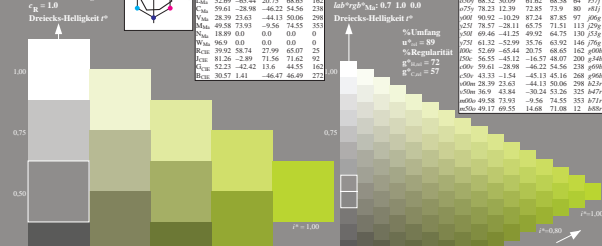
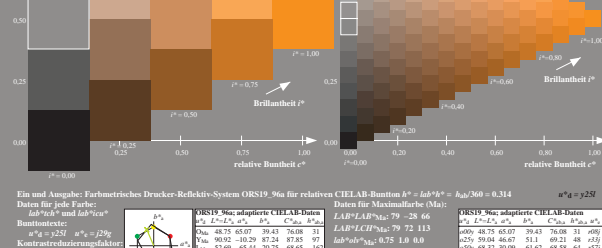
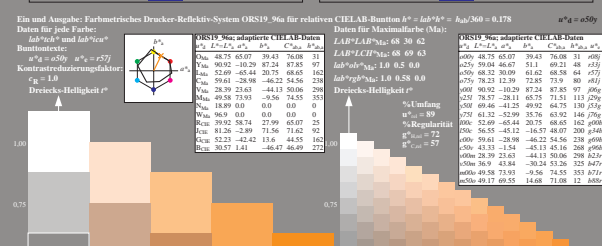
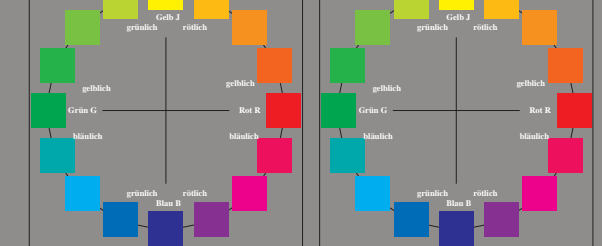
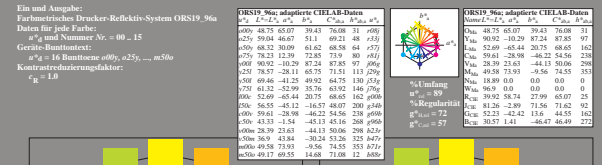
Siehe ähnliche Dateien: <http://www.ps.bam.de/Fg22/>; [www.ps.bam.de/Fg.HTM](http://www.ps.bam.de/Fg.HTM)  
Technische Information: <http://www.ps.bam.de> Version 2.1, io=1,1, CIELAB, ColSpX=1

BAM-Registrierung: 20080901-Fg22/10L/L22G00FP.PS/.PDF BAM-Material: Code=rhata  
Anwendung für Beurteilung und Messung von Drucker- oder Monitorssystemen

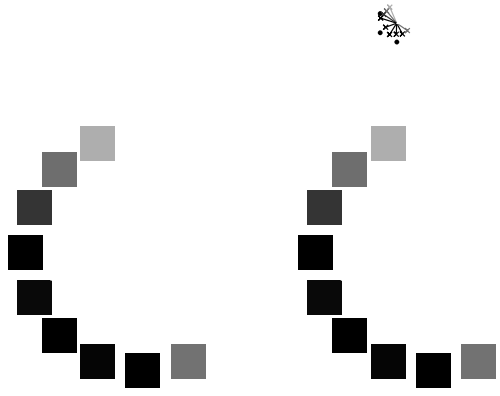


Siehe ähnliche Dateien: <http://www.ps.bam.de/Fg22/>; [www.ps.bam.de/Fg22/10L/L22G00FP.PS/](http://www.ps.bam.de/Fg22/10L/L22G00FP.PS/).PDF BAM-Material: Code=thata  
 Technische Information: <http://www.ps.bam.de/Version2.1,io=1,1,CIELAB,ColSpx=1>

BAM-Registrierung: 20080901-Fg22/10L/L22G00FP.PS/.PDF BAM-Material: Code=thata  
 Anwendung für Beurteilung und Messung von Drucker- oder Monitorssystemen



c



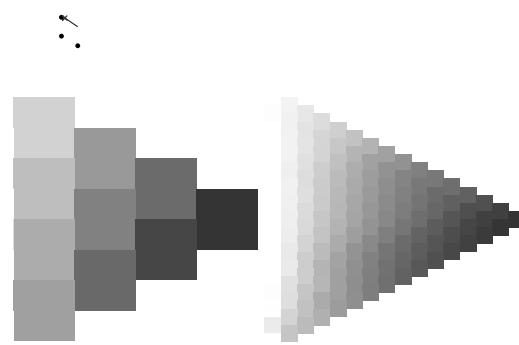
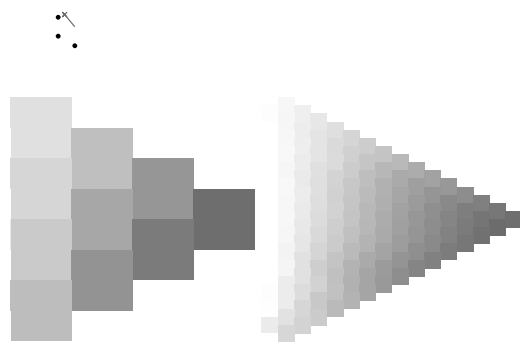
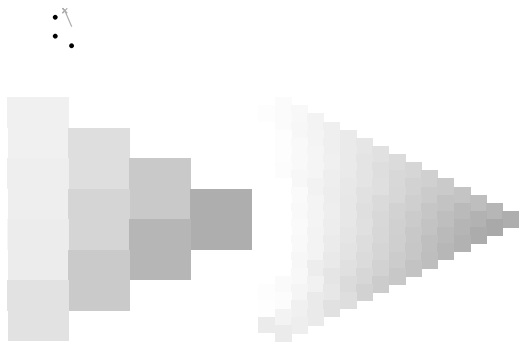
⋮

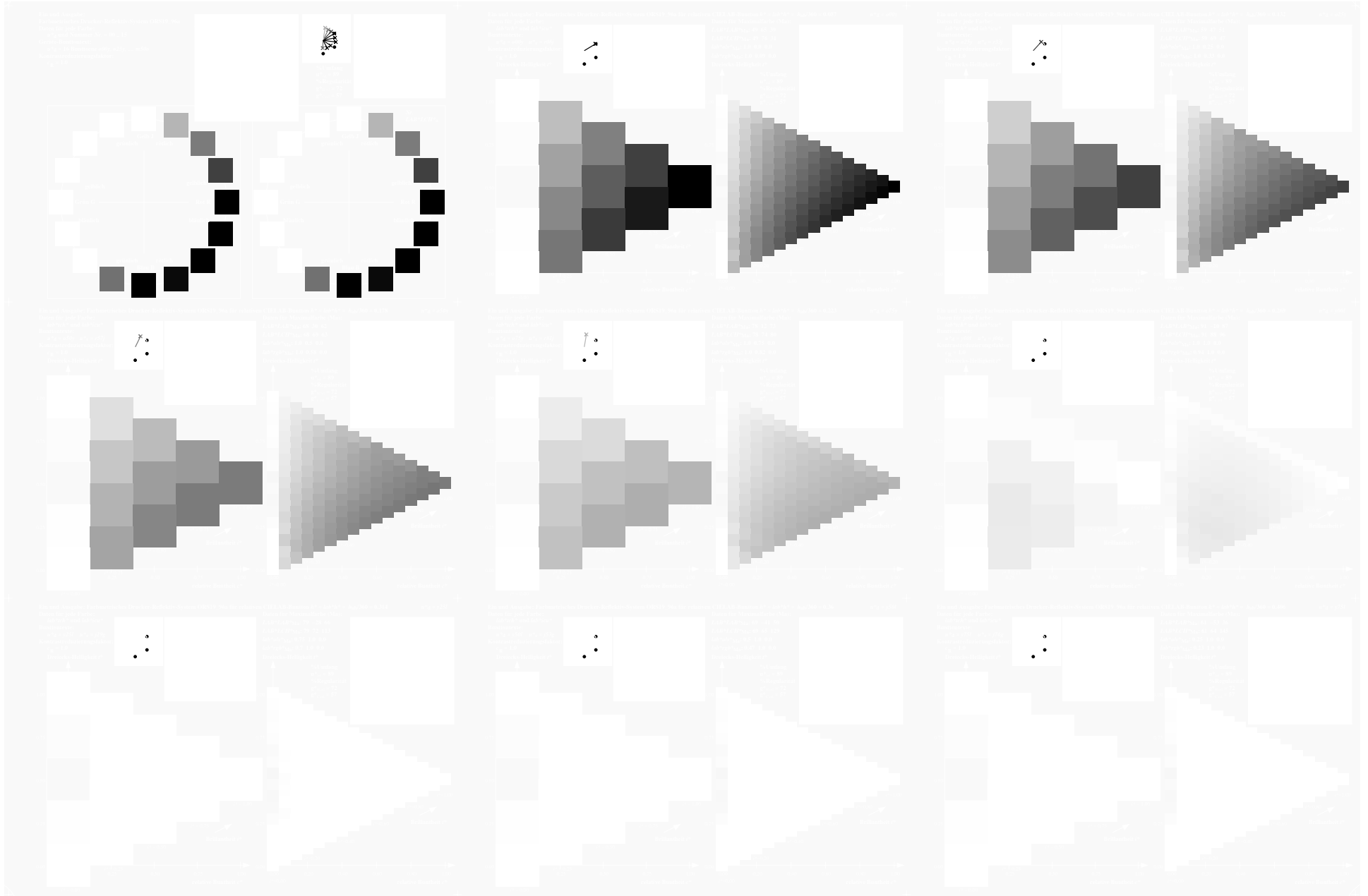
⋮

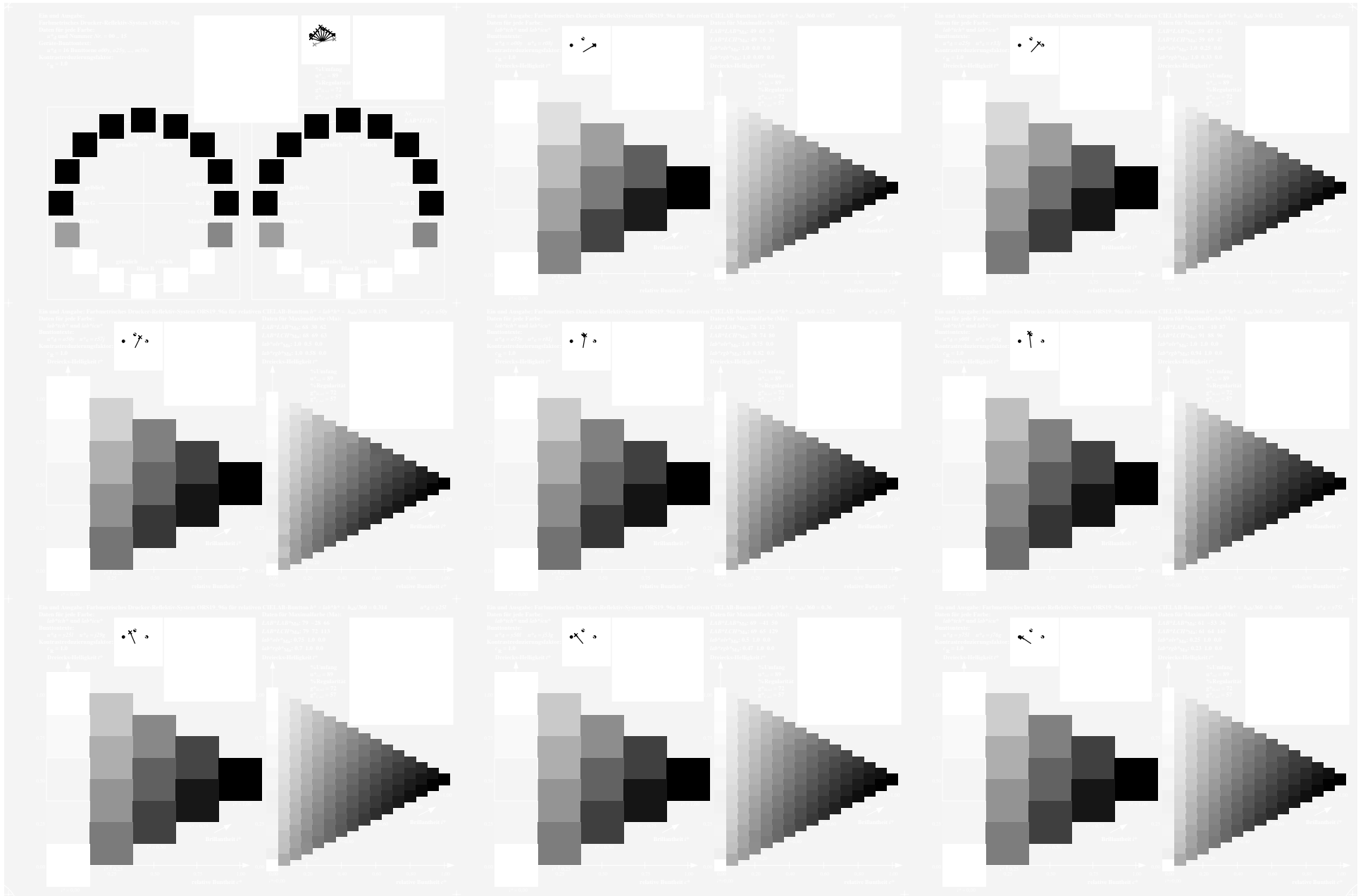
⋮

⋮

⋮





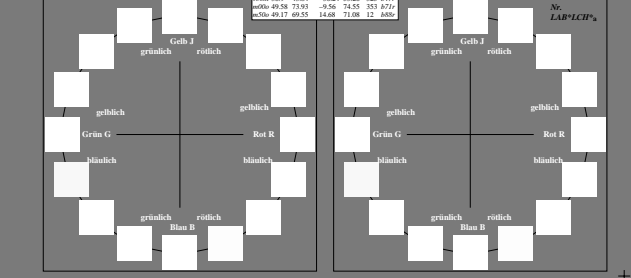


Siehe ähnliche Dateien: <http://www.ps.bam.de/Fg22/>; [www.ps.bam.de/Fg22/10L/L22G00FP.PS/](http://www.ps.bam.de/Fg22/10L/L22G00FP.PS/).PDF  
Technische Information: <http://www.ps.bam.de/Version2.1,io=1.1,CIELAB,ColSpX=1>

BAM-Registrierung: 20080901-Fg22/10L/L22G00FP.PS/.PDF BAM-Material: Code=rhatha  
Anwendung für Beurteilung und Messung von Drucker- oder Monitorsystemen

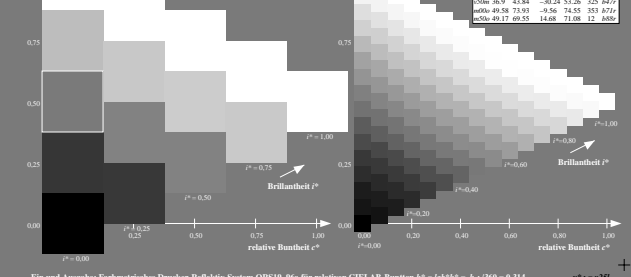
Ein und Ausgabe: Farbmetrisches Drucker-Reflexiv-System ORS19\_96a  
Daten für jede Farbe:  $lab^*a^*$  und  $lab^*b^*$   
 $n^* = 16$  Bunttöne  $o00y, o25y, \dots, m50y$   
Kontrastreduzierungsfaktor:  $c_g = 1.0$

Lab*	L*	a*	b*	
48.75	65.07	39.41	76.08	31
59.04	46.67	51.1	69.21	48
69.02	-10.29	87.24	87.85	97
82.31	12.39	72.85	71.9	80
90.92	-10.29	87.24	87.85	97
78.27	-28.11	65.75	71.51	113
69.02	-10.29	87.24	87.85	97
59.04	46.67	51.1	69.21	48
48.75	65.07	39.41	76.08	31



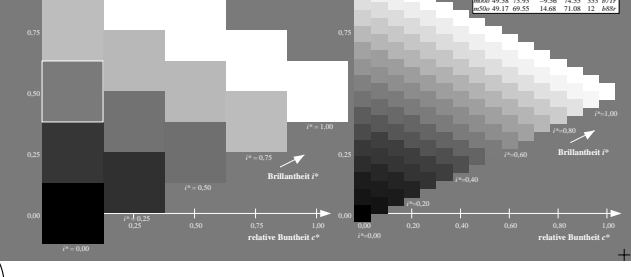
Ein und Ausgabe: Farbmetrisches Drucker-Reflexiv-System ORS19\_96a für relatives CIELAB-Buntton  $n^* = lab^*a^* = lab^*b^* = \lambda_{lab^*}/\lambda_{lab^*} = 0.178$   $n^* = 16$   
Daten für jede Farbe:  $lab^*a^*$  und  $lab^*b^*$   
 $n^* = o25y$   $n^* = f33y$   
Kontrastreduzierungsfaktor:  $c_g = 1.0$   
Dreiecks-Heelligkeit  $\rho^*$

Lab*	L*	a*	b*	
48.75	65.07	39.41	76.08	31
59.04	46.67	51.1	69.21	48
69.02	-10.29	87.24	87.85	97
82.31	12.39	72.85	71.9	80
90.92	-10.29	87.24	87.85	97
78.27	-28.11	65.75	71.51	113
69.02	-10.29	87.24	87.85	97
59.04	46.67	51.1	69.21	48
48.75	65.07	39.41	76.08	31



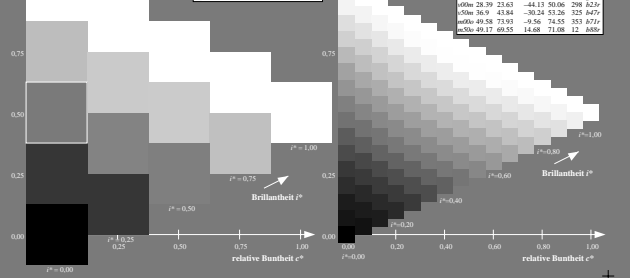
Ein und Ausgabe: Farbmetrisches Drucker-Reflexiv-System ORS19\_96a für relatives CIELAB-Buntton  $n^* = lab^*a^* = lab^*b^* = \lambda_{lab^*}/\lambda_{lab^*} = 0.132$   $n^* = 16$   
Daten für jede Farbe:  $lab^*a^*$  und  $lab^*b^*$   
 $n^* = o25y$   $n^* = f33y$   
Kontrastreduzierungsfaktor:  $c_g = 1.0$   
Dreiecks-Heelligkeit  $\rho^*$

Lab*	L*	a*	b*	
48.75	65.07	39.41	76.08	31
59.04	46.67	51.1	69.21	48
69.02	-10.29	87.24	87.85	97
82.31	12.39	72.85	71.9	80
90.92	-10.29	87.24	87.85	97
78.27	-28.11	65.75	71.51	113
69.02	-10.29	87.24	87.85	97
59.04	46.67	51.1	69.21	48
48.75	65.07	39.41	76.08	31



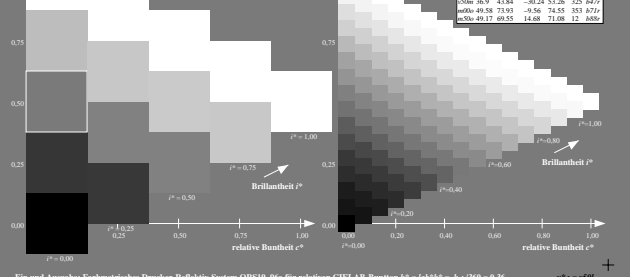
Ein und Ausgabe: Farbmetrisches Drucker-Reflexiv-System ORS19\_96a für relatives CIELAB-Buntton  $n^* = lab^*a^* = lab^*b^* = \lambda_{lab^*}/\lambda_{lab^*} = 0.087$   $n^* = 16$   
Daten für jede Farbe:  $lab^*a^*$  und  $lab^*b^*$   
 $n^* = o00y$   $n^* = f33y$   
Kontrastreduzierungsfaktor:  $c_g = 1.0$   
Dreiecks-Heelligkeit  $\rho^*$

Lab*	L*	a*	b*	
48.75	65.07	39.41	76.08	31
59.04	46.67	51.1	69.21	48
69.02	-10.29	87.24	87.85	97
82.31	12.39	72.85	71.9	80
90.92	-10.29	87.24	87.85	97
78.27	-28.11	65.75	71.51	113
69.02	-10.29	87.24	87.85	97
59.04	46.67	51.1	69.21	48
48.75	65.07	39.41	76.08	31



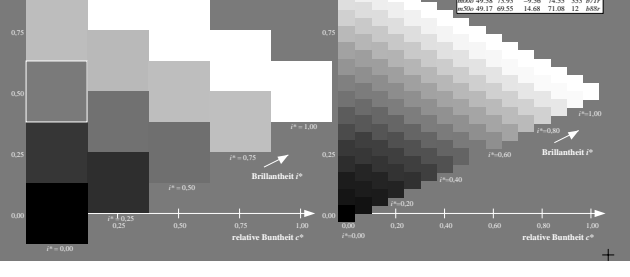
Ein und Ausgabe: Farbmetrisches Drucker-Reflexiv-System ORS19\_96a für relatives CIELAB-Buntton  $n^* = lab^*a^* = lab^*b^* = \lambda_{lab^*}/\lambda_{lab^*} = 0.223$   $n^* = 16$   
Daten für jede Farbe:  $lab^*a^*$  und  $lab^*b^*$   
 $n^* = o25y$   $n^* = f33y$   
Kontrastreduzierungsfaktor:  $c_g = 1.0$   
Dreiecks-Heelligkeit  $\rho^*$

Lab*	L*	a*	b*	
48.75	65.07	39.41	76.08	31
59.04	46.67	51.1	69.21	48
69.02	-10.29	87.24	87.85	97
82.31	12.39	72.85	71.9	80
90.92	-10.29	87.24	87.85	97
78.27	-28.11	65.75	71.51	113
69.02	-10.29	87.24	87.85	97
59.04	46.67	51.1	69.21	48
48.75	65.07	39.41	76.08	31



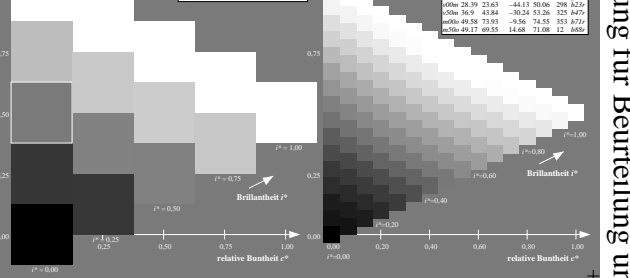
Ein und Ausgabe: Farbmetrisches Drucker-Reflexiv-System ORS19\_96a für relatives CIELAB-Buntton  $n^* = lab^*a^* = lab^*b^* = \lambda_{lab^*}/\lambda_{lab^*} = 0.36$   $n^* = 16$   
Daten für jede Farbe:  $lab^*a^*$  und  $lab^*b^*$   
 $n^* = o25y$   $n^* = f33y$   
Kontrastreduzierungsfaktor:  $c_g = 1.0$   
Dreiecks-Heelligkeit  $\rho^*$

Lab*	L*	a*	b*	
48.75	65.07	39.41	76.08	31
59.04	46.67	51.1	69.21	48
69.02	-10.29	87.24	87.85	97
82.31	12.39	72.85	71.9	80
90.92	-10.29	87.24	87.85	97
78.27	-28.11	65.75	71.51	113
69.02	-10.29	87.24	87.85	97
59.04	46.67	51.1	69.21	48
48.75	65.07	39.41	76.08	31



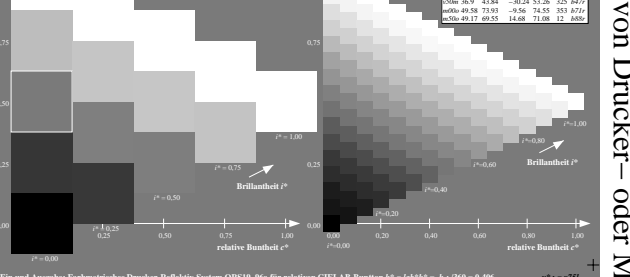
Ein und Ausgabe: Farbmetrisches Drucker-Reflexiv-System ORS19\_96a für relatives CIELAB-Buntton  $n^* = lab^*a^* = lab^*b^* = \lambda_{lab^*}/\lambda_{lab^*} = 0.132$   $n^* = 16$   
Daten für jede Farbe:  $lab^*a^*$  und  $lab^*b^*$   
 $n^* = o25y$   $n^* = f33y$   
Kontrastreduzierungsfaktor:  $c_g = 1.0$   
Dreiecks-Heelligkeit  $\rho^*$

Lab*	L*	a*	b*	
48.75	65.07	39.41	76.08	31
59.04	46.67	51.1	69.21	48
69.02	-10.29	87.24	87.85	97
82.31	12.39	72.85	71.9	80
90.92	-10.29	87.24	87.85	97
78.27	-28.11	65.75	71.51	113
69.02	-10.29	87.24	87.85	97
59.04	46.67	51.1	69.21	48
48.75	65.07	39.41	76.08	31



Ein und Ausgabe: Farbmetrisches Drucker-Reflexiv-System ORS19\_96a für relatives CIELAB-Buntton  $n^* = lab^*a^* = lab^*b^* = \lambda_{lab^*}/\lambda_{lab^*} = 0.269$   $n^* = 16$   
Daten für jede Farbe:  $lab^*a^*$  und  $lab^*b^*$   
 $n^* = o25y$   $n^* = f33y$   
Kontrastreduzierungsfaktor:  $c_g = 1.0$   
Dreiecks-Heelligkeit  $\rho^*$

Lab*	L*	a*	b*	
48.75	65.07	39.41	76.08	31
59.04	46.67	51.1	69.21	48
69.02	-10.29	87.24	87.85	97
82.31	12.39	72.85	71.9	80
90.92	-10.29	87.24	87.85	97
78.27	-28.11	65.75	71.51	113
69.02	-10.29	87.24	87.85	97
59.04	46.67	51.1	69.21	48
48.75	65.07	39.41	76.08	31



Ein und Ausgabe: Farbmetrisches Drucker-Reflexiv-System ORS19\_96a für relatives CIELAB-Buntton  $n^* = lab^*a^* = lab^*b^* = \lambda_{lab^*}/\lambda_{lab^*} = 0.406$   $n^* = 16$   
Daten für jede Farbe:  $lab^*a^*$  und  $lab^*b^*$   
 $n^* = o25y$   $n^* = f33y$   
Kontrastreduzierungsfaktor:  $c_g = 1.0$   
Dreiecks-Heelligkeit  $\rho^*$

Lab*	L*	a*	b*	
48.75	65.07	39.41	76.08	31
59.04	46.67	51.1	69.21	48
69.02	-10.29	87.24	87.85	97
82.31	12.39	72.85	71.9	80
90.92	-10.29	87.24	87.85	97
78.27	-28.11	65.75	71.51	113
69.02	-10.29	87.24	87.85	97
59.04	46.67	51.1	69.21	48
48.75	65.07	39.41	76.08	31

